

ОПТИЧЕСКИЕ СВОЙСТВА

СВЕРХПРОВОДЯЩИХ МОНОКРИСТАЛЛОВ $YBa_2Cu_3O_{7-\delta}$

М.П. Петров, А.И. Грачев,
 М.В. Красинская, А.А. Нечитайлов,
 В.В. Прокофьев, В.В. Поборчий,
 С.И. Шагин, Н.Ф. Картенко

В настоящей работе приводятся результаты исследования спектров отражения и спектров комбинационного рассеяния света (КРС) для сверхпроводящих монокристаллов $YBa_2Cu_3O_{7-\delta}$.

Монокристаллы $YBa_2Cu_3O_{7-\delta}$ были получены методом спонтанной кристаллизации при температуре 1000 °C в атмосфере кислорода из заранее приготовленного порошка того же состава, обладающего свойством сверхпроводимости, с добавлением небольшого количества CuO . Они представляли собой тонкие пластинки правильной геометрической формы, выступающие из спеченной массы. При извлечении пластинок из слитка, их края обламывались, и они частично теряли правильную форму. Площадь пластинок обычно достигала $200 \times 300 \text{ мкм}^2$ (*max* $0.5 \times 0.5 \text{ мм}^2$), толщина – нескольких микрон. Кристаллы черного цвета с зеркально гладкой поверхностью. Сверхпроводимость образцов проверялась по эффекту Мейсенера при 77 K. Кроме указанных, в слитке можно было обнаружить также пластинки монокристаллов тетрагональной фазы, монокристаллы игольчатой формы и в виде параллелепипеда. Свойства этих кристаллов в данном сообщении не рассматриваются.

Порошковые рентгенограммы растертых монокристаллов хорошо согласуются с известными рентгенографическими данными для ромбической фазы $YBa_2Cu_3O_{7-\delta}$ [1].

Для определения совершенства монокристаллов, ориентации пластинок и оценки параметров элементарной ячейки были сняты дауэгограммы и рентгенограммы качания. Они показали, что кристаллическая структура хорошо сформирована, ось „с“ перпендикулярна плоскости пластинки, а оси „а“ и „в“ совпадают с естественными гранями кристалла. Наблюдается двойникование, и ось двойникования совпадает с [110]. Параметры элементарной ячейки, усредненные по двум монокристаллам, приведены в таблице, где для сравнения показаны значения, полученные в [2, 3].

При исследовании монокристаллов в отраженном свете в поляризационном микроскопе видна ярко выраженная блочная макроструктура. При нормальном падении света в геометрии со скрещенными поляризатором и анализатором при вращении кристалла наблюдается периодическое просветление одних областей, в то время как другие остаются затемненными постоянно (рис. 1). Это означает, что первые области являются оптически анизотропными, тогда как вторые – полностью изотропны в плоскости ab. Граница между двумя указанными типами областей всегда проходит под углом $\approx 45^\circ$.

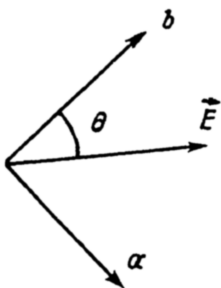
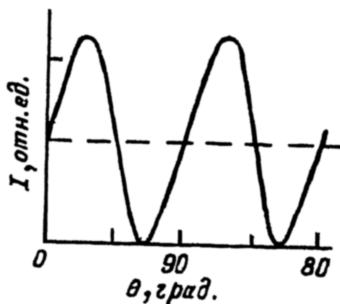
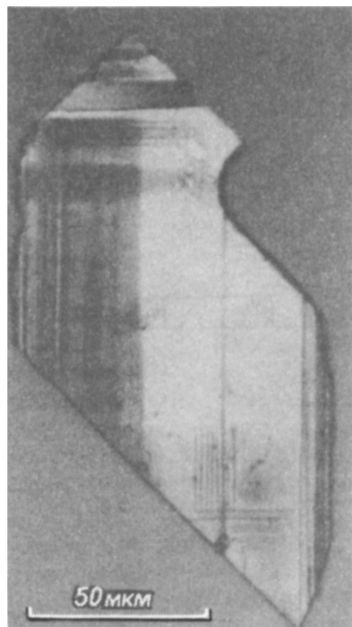


Рис. 1. Фотография образца сверхпроводящего кристалла в поляризационном свете, полученная в скрещенных поляроидах при максимальном просветлении анизотропной области (показаны положения главных оптических осей относительно границы двух областей, \vec{E} – вектор напряженности электрического поля световой волны). На вставке ориентационная зависимость интенсивности прошедшего света для анизотропной области.

к направлению главных оптических осей анизотропного блока, совпадающих с кристаллографическими осями „*a*” и „*b*”. На плоскости пластины наблюдается также присутствие двух типов анизотропных областей, главные оптические оси которых поменялись местами.

Количественное исследование спектральной и поляризационной зависимостей коэффициента отражения кристаллов проводилось с помощью оптического микронализатора *IBAS* фирмы *OPTON*.

Спектры отражения для изотропной и анизотропной области кристалла приведены на рис. 2. Видно, что в анизотропных областях наблюдается значительная разница в значениях коэффициента отражения для взаимно ортогональных поляризаций, что наиболее сильно проявляется в красной области спектра. Кривая отражения изотропных областей занимает промежуточное положение, точнее коэффициент отражения этих участков примерно равен среднему значению коэффициентов отражения на кривых „*a*” и „*b*”. Не останавливаясь

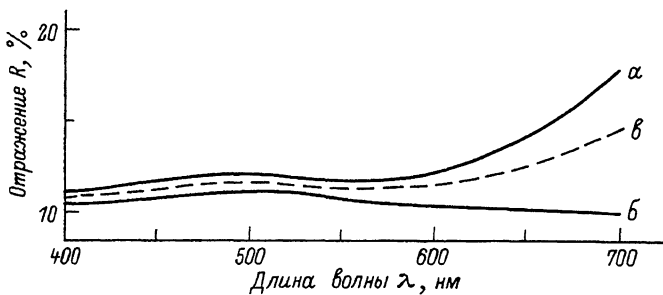


Рис. 2. Спектры отражения оптически изотропных и анизотропных областей сверхпроводящих кристаллов: а, б – кривые отражения анизотропной области для двух ортогональных поляризаций, в – кривая отражения изотропной области.

Параметры элементарной ячейки			Наличие сверхпроводимости	Ссылка
c	a	b		
11.709(8)	3.821(8)	3.894(7)	+	Данная работа
11.59	3.86	3.92	Нет данных	[2]
11.699(2)	3.827(1)	3.893(1)	+	[3]

на детальном обсуждении результатов, отметим, что полученные данные находят наиболее простое объяснение при предположении, что изотропные и анизотропные области представляют собой одну и ту же ромбическую фазу, но для первых характерно микродвойникование [5, 6], а вторые представляют собой макроблоки, свободные от двойникования, на них и удается заметить анизотропию отражения. Ход спектральной зависимости коэффициента отражения R для одной из ортогональных поляризаций (рис. 2,а) хорошо согласуется со спектром, полученным на образцах сверхпроводящей керамики [4], где также наблюдался максимум при $\lambda \approx 500$ нм и рост R при $\lambda > 600$ нм, связываемый с плазменным отражением свободными электронами. Положение минимума отражения плазменного края для наших монокристаллов соответствует энергии ≈ 2.2 эВ (в [4] 1.9 эВ). В ортогональной поляризации в том же спектральном диапазоне вклада свободных электронов не обнаружено (рис. 2,б).

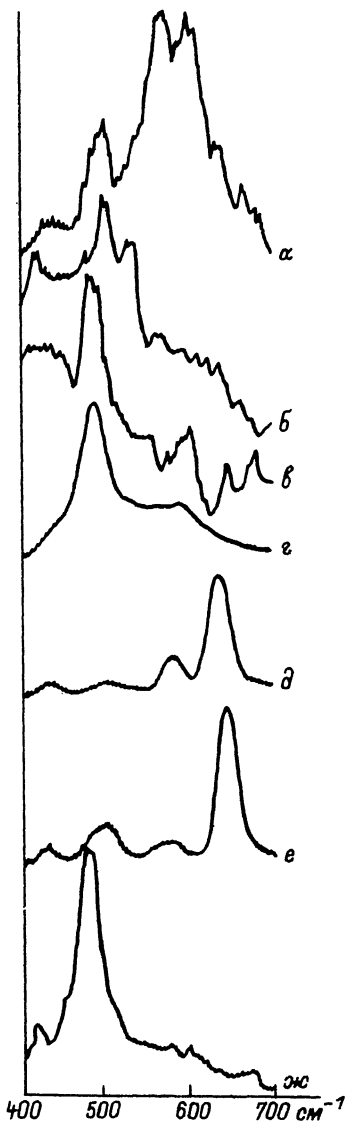


Рис. 3. Спектры КРС различных образцов $YBa_2Cu_3O_{7-\delta}$. а, б, в - спектры анизотропных областей разных образцов сверхпроводящих кристаллов $YBa_2Cu_3O_{7-\delta}$; г, д - спектры кристаллов $YBa_2Cu_3O_{7-\delta}$, опубликованные в печати [7, 8] соответственно; е - спектры сверхпроводящей керамики состава 1:2:3; ж - спектр тетрагонального несверхпроводящего кристалла.

Возможно, что плазменный край в этом случае сдвинут в инфракрасную область. Указанная анизотропия электронных свойств на оптических частотах дает основание предполагать, что по-видимому, имеется и анизотропия низкочастотной проводимости вдоль кристаллографических осей „а“ и „в“, не наблюдавшаяся ранее вследствие микродвойниковской структуры кристаллов.

Для исследования фононного спектра было использовано комбинационное рассеяние (КРС). Ввиду микроскопических размеров кристаллов был применен микрораманспектрометр, созданный на базе двойного монохроматора ДФС-24 и микроскопа ЛЮМАМ (разработка ГОИ им. С.И. Вавилова). Линейный размер лазерного зонда ($\lambda_0 = 5145 \text{ \AA}$) составлял $\approx 10 \text{ мкм}$ при мощности падающего света $\approx 1 \text{ мВт}$. Регистрировался свет рассеянный назад, поляризация которого совпадала с направлением поляризации падающего света.

На рис. 3 приведены спектры КРС анизотропных областей кристаллов в наиболее интересной с точки зрения сверхпроводящих свойств частотной области валентных колебаний $Cu-O$. Для сравнения даны спектры, полученные для монокристаллической области размером $\approx 10 \text{ мкм}$, выделенной в керамическом образце [7], и на монокристалле размером $\approx 1 \text{ мм}^2$, полученном после отжига кристалла тетрагональной фазы в атмосфере кислорода [8] (кривые г, д). Видно, что спектры заметно отличаются.

лов (кривые а - в), снятые в наименее интересной с точки зрения сверхпроводящих свойств частотной области валентных колебаний $Cu-O$. Для сравнения даны спектры, полученные для монокристаллической области размером $\approx 10 \text{ мкм}$, выделенной в керамическом образце [7], и на монокристалле размером $\approx 1 \text{ мм}^2$, полученном после отжига кристалла тетрагональной фазы в атмосфере кислорода [8] (кривые г, д). Видно, что спектры заметно отличаются.

ются. Даже кристаллы, взятые из одного и того же слитка (кристаллы а-в), обнаруживают различие в спектрах. Однако положение линий в областях 420–430, 480–500 и 580–600 см⁻¹ у рассматриваемых образцов (рис. 3, а–д) неплохо согласуется. Для сравнения на рис. 3 показаны спектры для исходной керамики и несверхпреводящих кристаллов тетрагональной фазы, хорошо согласующиеся с данными [9] и [8] соответственно.

Проявление большего числа полос, чем разрешено симметрией кристалла, а также различие в относительных интенсивностях полос в спектрах разных образцов, по-видимому, свидетельствует о нарушении правил отбора для КРС в кристаллах $\text{YBa}_2\text{Cu}_3\text{O}_{7-\delta}$ вследствие нарушения трансляционной симметрии при дефиците кислорода. Возможно также существование разных ромбических фаз [10] или неконтролируемых микровключений [11], обладающих эффективным рамановским рассеянием.

Л и т е р а т у р а

- [1] François et al. – Sol. St. Commun., 1987, v. 63, N 12, p. 1149.
- [2] Осиньян Ю.А. и др. – Письма в ЖЭТФ, 1987, т. 46, № 5, с. 189.
- [3] Calestani G. and Rizzoli C. – Nature, 1987, v. 328, p. 606.
- [4] Kamariois K. et al. – Phys. Rev. Lett., 1987, v. 59, N 8, p. 919–922.
- [5] Hervieu M. et al. – Phys. Rev. B, 1987, v. 36, N 7, p. 3920.
- [6] Sueño S. et al. – Jap. J. Appl. Phys., 1987, v. 26, N 5, p. L842.
- [7] Hemley R.J., Mao M.K. – Phys. Rev. Lett., 1987, v. 58, N 22, p. 2340.
- [8] Yamakawa A. et al. – Jap. J. Appl. Phys., 1987, v. 26, N 8, p. L1404.
- [9] Igba L. et al. – Phys. Rev., 1987, v. B36, N 4, p. 2283.
- [10] I - Wei Chen et al. – Sol. St. Commun., 1987, v. 63, N 11, p. 997.
- [11] Don S.X. et al. – Appl. Phys. Lett., 1987, v. 51, N 7, p. 535.

Физико-технический
институт им. А.Ф. Иоффе
АН СССР, Ленинград

Поступило в Редакцию
11 февраля 1988 г.